

**К ВОПРОСУ ОБ АНОМАЛЬНОМ РАССЕЯНИИ  
 $\beta$ -ЛУЧЕЙ РАДИЯ - 226**

**Ю. В. Анищенко**

В ряде работ 30-х - 40-х годов, посвященных исследованию упругого рассеяния электронов на ядрах при энергии электронов порядка Мэв, наблюдалось аномальное рассеяние: превышение числа рассеяний на большие углы над теоретически ожидаемым, потери энергии в акте рассеяния /1-4/. В других работах имело место хорошее согласие теории и эксперимента. С наибольшей точностью теоретические предсказания были подтверждены в опытах, выполненных при помощи интенсивных пучков электронов, полученных на ускорителях. Изучение работ, относящихся к этому вопросу, однако, показывает, что аномальное рассеяние наблюдалось тогда, когда исследовались  $\beta$ -лучи радия -226, причем источник располагался близко, на расстоянии 10-20 см, от регистрирующего прибора.

В 1952 г. Д. В. Скобельцыным была рассмотрена возможность истолкования аномального рассеяния путем распада на лету короткоживущих частиц, в доле 5-10% к электронам, присутствующих в составе  $\beta$ -излучения вблизи источника /5/. В предположении массы 1,5 Мэв и времени жизни (1-5)  $10^{-10}$  сек казалось, что явление находит не только качественное, но и количественное объяснение. По инициативе Д. В. Скобельцына эксперименты были продолжены. Исследовалось рассеяние в камере Вильсона низкого давления, наполненной гелием ( $P = 250$  мм рт. ст.,  $T = 278^{\circ}\text{K}$ ;  $P = 600$  и  $800$  мм рт. ст. в ряде более позд-

них экспериментальных серий), тогда как в работах /1-4/ рассеяние изучалось в азоте и аргоне. Эксперимент не подтвердил ожидаемого эффекта аномального рассеяния. Однако выявившиеся в процессе длительного исследования детали явления, излагаемые ниже, заслуживают, по-видимому, пристального внимания.

В цилиндрическую камеру Вильсона  $\varnothing 300$  мм с глубиной освещенной области 70 мм (в одной из экспериментальных серий камера была прямоугольной, размером 800x400x220 мм<sup>3</sup>, освещенная практически на всю глубину светом рубинового лазера) последовательно через определенные интервалы времени инжектировались  $\beta$ -частицы, испускаемые радием-226, из различных интервалов спектра импульсов: (1,2 – 1,8) Мэв/с, (1,8 – 2,4) Мэв/с и (2,4 – 3,0) Мэв/с. Инжекция осуществлялась с помощью небольшого импульсного спектрометра с полукругловой фокусировкой "разрешением" 30%. Причем всякий раз с изменением поля спектрометра менялось магнитное поле в камере с таким расчетом, чтобы радиус кривизны для частицы со средним импульсом в интервале оставался неизмененным. Таким образом устраивалась разница условий наблюдения в различных спектральных интервалах. Пучок частиц разворачивался спектрометром в плоскости, нормальной к магнитному полю. Угловой раствор пучка в направлении магнитного поля не превышал 16° и обусловлен был рассеянием в слюдянном окне, служащем для ввода электронов в камеру (средний угол многократного рассеяния составлял 8°). В контрольном опыте исследовалось рассеяние  $\beta$ -частиц  $P^{32}$  в интервале импульсов (0,8 – 1,6) Мэв/с. Было зарегистрировано 6720 следов  $\beta$ -частиц и 32 случая рассеяния на угол  $> 20^\circ$ . Расчетное число таких событий составляет 41±4. Согласие в пределах ошибки теоретического и наблюдаемого числа случаев рассеяния рассматривалось как положительный результат в проверке метода. Точность определения пространственных углов  $\Theta$  оценивалась по измерению известных углов макета, имитирующего на-

бор следов частиц, испытавших рассеяние, и составляла  $1^{\circ}$ - $15^{\circ}$  в диапазоне  $\Delta\theta = 10^{\circ}$ - $90^{\circ}$ . Зависимость эффективности регистрации углов рассеяния от величины  $\theta$  проверялась путем сравнения наблюдаемого углового распределения с теоретическим с помощью критерия Колмогорова в контрольных экспериментальных сериях. Сравнение показало, что начиная с  $15^{\circ}$  эффективность не зависит от величины угла и близка к 1.

Основные результаты эксперимента по изучению  $\beta$ -лучей радия -226 представлены в таблице 1 и на рис. 1 и 2. Из таблицы видно, что в интервалах импульсов  $\alpha$  ( $\bar{P} = 1,5$  Мэв/с) и  $\delta$  ( $\bar{P} = 2,7$  Мэв/с) имеется согласие теории и эксперимента. В интервале  $\delta$  ( $\bar{P} = 2,1$  Мэв/с) наблюдаемое число рассеяний в несколько раз превышает рассчитанное для углов  $\theta > 20^{\circ}$ , а для  $\Delta\theta = 15^{\circ}$ - $20^{\circ}$  согласие полное. На рис. 1 разность экспериментального числа актов рассеяния на угол  $> 20^{\circ}$  и теоретического представлена как функция импульса.

Таблица 1

|                                     | $15^{\circ}$ - $20^{\circ}$ | $20^{\circ}$ - $45^{\circ}$ | $45^{\circ}$ - $180^{\circ}$ | Число следов |
|-------------------------------------|-----------------------------|-----------------------------|------------------------------|--------------|
| $\alpha$                            |                             |                             |                              |              |
| $N_{\text{эксп}}$                   | $47 \pm 7$                  | $54 \pm 7,2$                | $8 \pm 2,5$                  |              |
| $N_{\text{теор}}$                   | $52 \pm 3$                  | $50 \pm 3$                  | $9,5 \pm 0,5$                | 7210         |
| $N_{\text{эксп}} / N_{\text{теор}}$ | $0,9 \pm 0,2$               | $1,0 \pm 0,2$               | $0,9 \pm 0,5$                |              |
| $\delta$                            |                             |                             |                              |              |
| $N_{\text{эксп}}$                   | $52 \pm 7,2$                | $109 \pm 10$                | $27 \pm 5$                   |              |
| $N_{\text{теор}}$                   | $45,4 \pm 3,1$              | $43,4 \pm 3,1$              | $7,6 \pm 0,7$                | 14920        |
| $N_{\text{эксп}} / N_{\text{теор}}$ | $1,1 \pm 0,25$              | $2,5 \pm 0,4$               | $3,6 \pm 1,1$                |              |
| $\delta$                            |                             |                             |                              |              |
| $N_{\text{эксп}}$                   | $5 \pm 2,2$                 | $4 \pm 2$                   | $1 \pm 1$                    |              |
| $N_{\text{теор}}$                   | $3,5 \pm 0,3$               | $3,2 \pm 0,3$               | $0,6 \pm 0,07$               | 2530         |
| $N_{\text{эксп}} / N_{\text{теор}}$ | 1                           | 1                           | 1                            |              |

Наблюдается аномальное рассеяние вблизи импульса 2,1 Мэв/с. Вместе с тем для углов  $<20^\circ$  экспериментальная зависимость числа рассеяний от импульса согласуется с расчетной. Отношение эксперименталь-

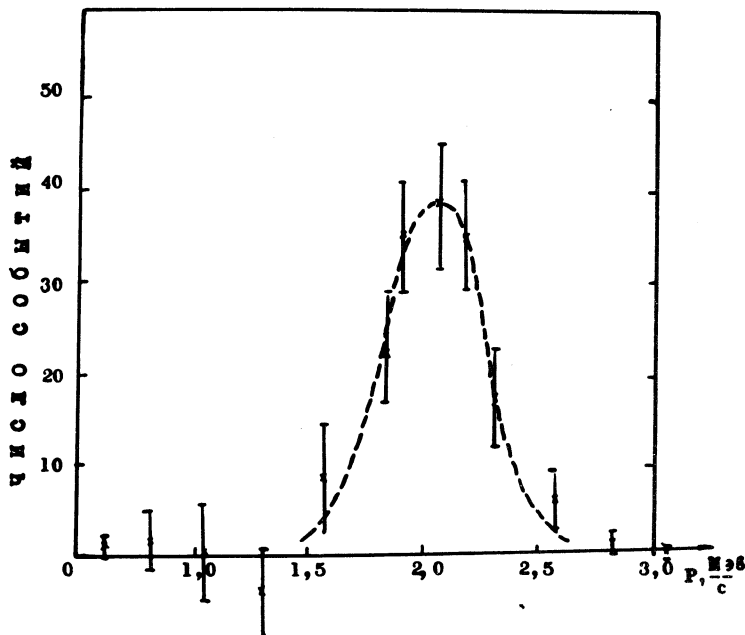
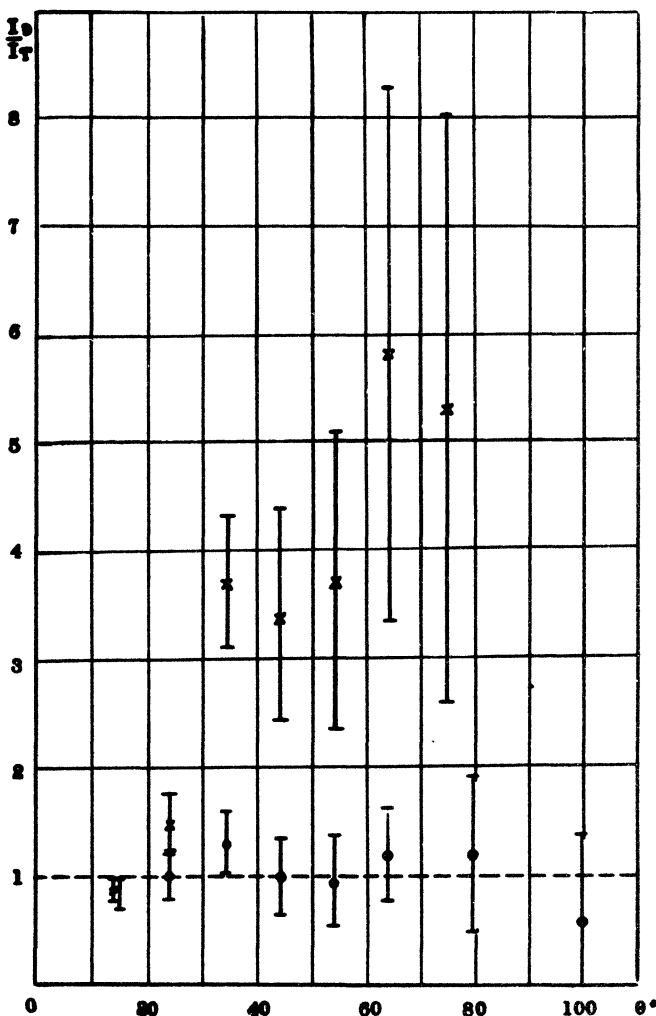


Рис. 1. Разность экспериментальной и теоретической частоты рассеяния на угол  $>20^\circ$  в функции импульса.

ной частоты рассеяния к теоретической как функция угла дано на рис. 2. Для интервалов импульсов  $\alpha$  и  $\beta$  данные объединены и изображены точками, для интервала  $\delta$  — крестами. Среднее квадратичное значение этого отношения для  $\theta > 30^\circ$  в интервале  $\delta$  равно  $3,5 \pm 0,5$ . При измерении импульсов до рассеяния,  $P_0$ , и после рассеяния,  $P$ , было обнаружено, что разность  $P_0 - P$  часто выходит за пределы ошибки, причем как правило при  $\theta > 20^\circ$ . Для  $\theta < 20^\circ$  распределение вели-



Р и с. 2. Отношение частот рассеяния в интервал  $\Delta\theta$ , полученных на опыте, к расчетным величинам. Точки для интервалов импульса  $a$  и  $\delta$ , кресты для интервала  $\delta$ .

чин  $(P_0 - P)/(P_0 + P)$  описывается нормальным законом со средним квадратичным отклонением  $\sigma = 2,8\%$ . Относительная частота событий, у которых  $|P_0 - P|/(P_0 + P) > 2\sigma$  (и  $3\sigma$ ) при  $\theta > 20^\circ$  значительно превышает интеграл ошибок. Здесь речь идет о событиях, у которых первичные и вторичные следы имеют длину не менее 7 см и наклон к проекционной плоскости, т.е. к плоскости, нормальной к направлению осей объективов стереоаппарата, не более  $20^\circ$ . Поэтому измерения импульсов в обоих группах следов (с  $\theta < 20^\circ$  и  $\theta > 20^\circ$ ) можно считать равноточными. Распределение  $n[(P_0 - P)/(P_0 + P)]$  симметрично, но для событий с  $\Delta P/P > 2\sigma$  преобладает увеличение импульса после акта аномального рассеяния (из 67 таких событий у 46  $P > P_0$ ). Ряд событий характеризуется изменением импульса на 20–30%.

Наблюдается убывание числа актов рассеяния на угол  $> 30^\circ$  по мере удаления от источника. Число таких событий в интервалах  $4 < l < 11$  и  $11 < l < 18$  (см) соответственно 45 и 21 (здесь 1–длина следа до излома). Вместе с тем события, характеризующиеся меньшим углом, распределены поровну в указанных интервалах в пределах ошибки. Так для  $15^\circ < \theta < 30^\circ$  соответствующие числа – 51 и 63. Из распределения числа следов в зависимости от их полной длины следует, что в интервале  $11 < l < 18$  (см) оканчивается 8,4% всех следов при средней длине  $\bar{l} = 26$  см. Это в основном следы частиц, выходящих из освещенной области камеры вследствие рассеяния в слюдянном окне. Поправка в этом интервале к числу зарегистрированных актов рассеяния на угол  $> 30^\circ$ , связанная с пропусками случаев рассеяния на концах следов и с уменьшением общего числа следов, составляет + 11%. Имеются пропуски случаев рассеяния в области малых  $l$ , вблизи окна, и из-за того, что следы, поступающие в камеру в количестве в среднем 3–4 на импульс инжекции, не успевают разойтись, и события теряются в гуще следов. Просчеты при малых  $l$  можно оценить пользуясь распределением  $n(l)$  для углов  $15^\circ$ – $30^\circ$ . После внесения необходимых по-

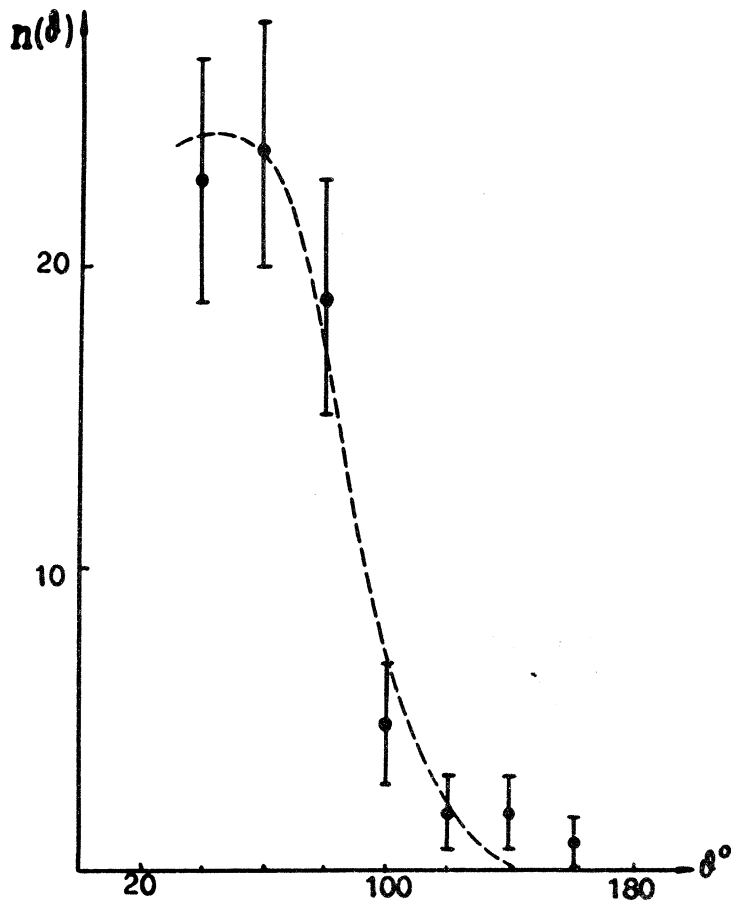
правок убывание числа рассеяний с увеличением  $x$ , расстояния от источника в камере Вильсона, можно представить в виде  $\exp[-x/\lambda]$  с  $\lambda = 6^{+4}_{-2,5}$  см.

Таким образом наблюдаемое явление имеет следующие особенности: 1. Зависимость числа изломов следов от импульса имеет максимум при  $P_0 = 2,1$  Мэв/с. 2. Угловое распределение аномально. 3. Имеет место изменение импульса в точке аномального рассеяния. 4. Число аномальных рассеяний убывает по мере удаления от источника.

Явление не может быть объяснено в рамках обычных представлений, если, конечно, здесь нет невыявленной экспериментальной ошибки. Объяснение можно было бы искать в предположении, что при ядерном переходе  $\text{Bi}^{214} \rightarrow \text{Po}^{214}$  генерируется частица с целым спином, уносящая всю энергию перехода. В камере Вильсона мы наблюдаем распад  $X$ -частицы на электрон и антинейтрино. Расчет масс из известных  $P_0$  и  $P$  и  $\theta$  в рамках высказанного предположения для всех событий с  $\theta > 20^\circ$  в экспериментальной серии, где  $\bar{P} = 2,1$  Мэв/с, дает почти гауссово распределение  $N(\alpha)$  с наиболее вероятным значением  $\alpha_x = (2,75 \pm 0,3)$  Мэв. Следует заметить, однако, что при  $\alpha_x = 2,75$  Мэв,  $P_0 = 2,1$  Мэв/с и  $\theta = 37^\circ$ ,  $P_0 = P$ , а угловое распределение, т.е. разность наблюдаемого числа изломов следов и рассчитанного числа рассеяний, имеет максимум вблизи  $30^\circ$ . На рис. 3 представлены экспериментальное и теоретическое угловые распределения в системе центра масс электронов распада гипотетической частицы  $n(\theta) =$

$$= (1/N) \int_{\theta}^{\theta + \Delta\theta} dN, \text{ где } N - \text{ полное число частиц. Теорети-}$$

ческое распределение  $\frac{1}{N} \frac{dN}{d\Omega} \sim (1 + \cos\Omega)^2$  получено в предположении спина 1 и 100% продольной поляризации в направлении импульса первичной частицы. Согла-



Р и с. 3. Сравнение угловых распределений в системе центра масс, экспериментального для событий с  $|P_0 - P| / (P_0 + P) > 2\sigma$  и теоретического (пунктирная кривая), вычисленного в предположении распада X-частицы, имеющей спин 1 и 100% продольную поляризацию.

сие сравниваемых угловых распределений следует признать хорошим,  $\chi^2 = 2,7$  при 7 степенях свободы.

Полагая среднюю длину пробега  $\lambda = 6$  см, найдем время жизни гипотетической частицы  $\tau = (3 \pm 1,5) \times 10^{-10}$  сек. Отсюда доля X-частиц от числа электронов распада  $Bi^{214}$  оказывается в пределах 0,1 – 5 процента.

Удельная ионизация частицы с массой 5,5 масс электрона и импульсом 2,1 Мэв/с должна быть в 2,7 раза больше минимальной. Визуальное наблюдение этого не подтверждает. К сожалению, качество материала и фон, обусловленный близким расположением источника к камере, затрудняют наблюдения. По той же причине, быть может, имеет место большая ошибка в числе зарегистрированных следов и рассеяний, чем мы предполагаем. Однако, различные стороны явления трудно объяснить, допуская простую ошибку наблюдения.

Считаю приятным долгом поблагодарить А. М. Балдина, И. М. Железных, А. А. Комара и С. И. Никольского за многочисленные полезные обсуждения; Р. А. Бунатян, Н. П. Бондаренко, Д. С. Крылова, В. А. Лаврова, Ф. И. Паначева, М. И. Самарина и Л. И. Черновиткову за помощь в работе.

Поступила в редакцию 11 декабря 1970 г.

После переработки 7 января 1971 г.

#### Л и т е р а т у р а

1. Д. В. Скobelцын. Изв. АН СССР, серия физич. № 1 – 2, 75 (1938).
2. Е. Г. Степанова. Изв. АН СССР, серия физич. № 1 – 2, 91 (1938).
3. W. Bosshard, P. Scherrer., Helv. Phys. Acta, 14, 84 (1941).